

# THE NANOSECOND TIME RESOLVED X-RAY DIFFRACTOMETRY WITH SYNCHROTRON RADIATION FOR EXPLORATION OF FAST PROCESSES IN SOLIDS

TOLOCHKO, BORIS; ARAKCHEEV, ALEKSEY; ZHULANOV, VLADIMIR; TEN, KONSTANTIN; KOSOV, ALEKSANDR; AULCHENKO, VLADIMIR; SHEKHTMAN, LEV; EVDOKOV, OLEG ; ZOLOTAREV, KONSTANTIN; KULIPANOV GRNNADY

INSTITUTE OF SOLID STATE CHEMISTRY AND MECHANOCHEMISTRY SB RAS

BUDKER INSTITUTE OF NUCLEAR PHYSICS SB RAS

INSTITUTE OF HYDRODYNAMICS SB RAS

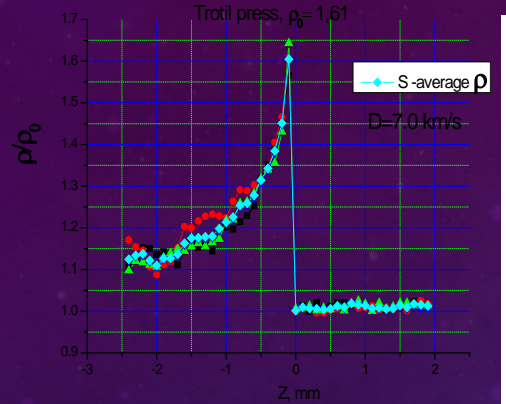
# MOTIVATION: NEW LIFE IN SPACE NEED NEW MATERIALS

- Preparation of new materials at extremely high temperatures and pressures (10000 C, 300 kbar).
- Protect materials from the effects of shock compression  $v=11 \text{ km/s}$ .
- Diamond synthesis

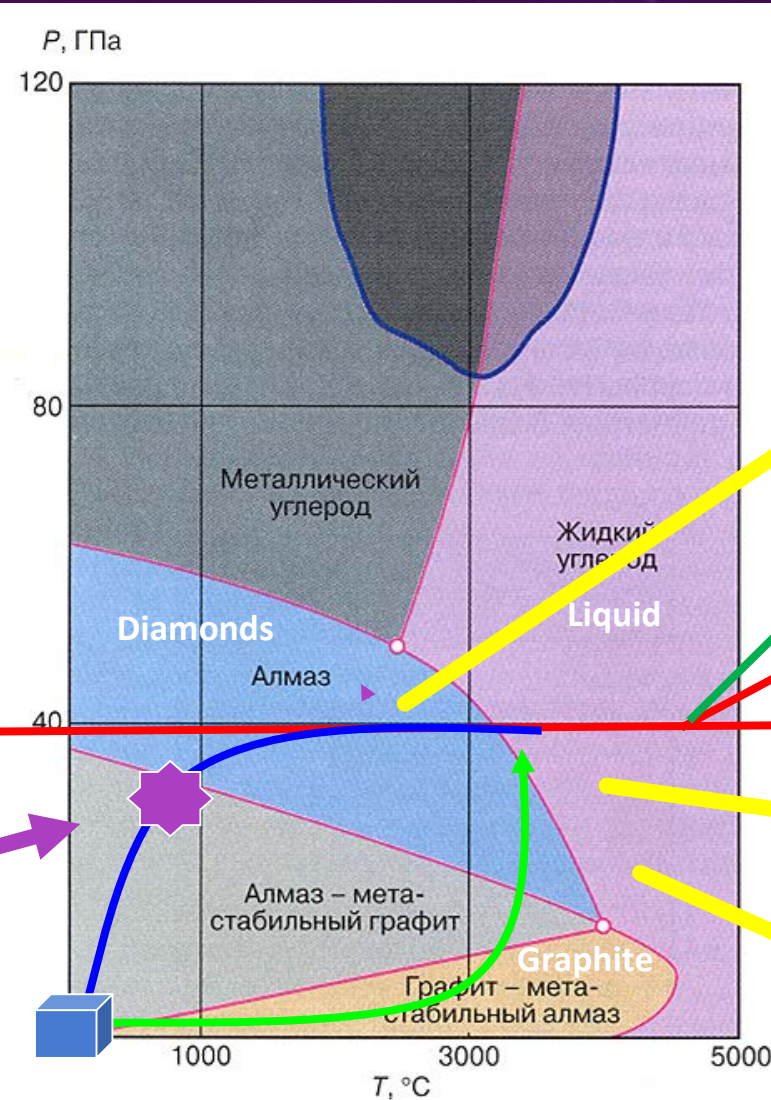
## EXPERIMENTAL CONDITIONS

- New wigglers – new spectrum range, high intensity
- New detectors – picosecond time resolution
- High energy at VEPP-4 (4,7 GeV) – new spectrum range
- LASER 100 J, 100  $\mu\text{s}$
- Explosion chamber for 200 g of TNT
- X-ray focusing optics
- BINP support (director, laboratories heads, scientific council)

# THE IDEA OF EXPERIMENT

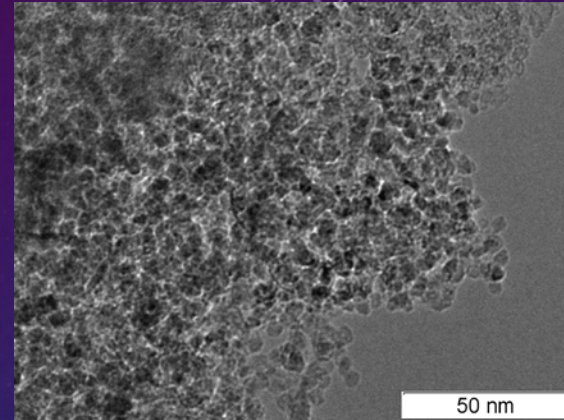


Density distribution in TNT shock wave. 0.1 mm corresponding 13 nm.



Carbon phase diagram and load-reload model.

Dream: diamond 1 mm

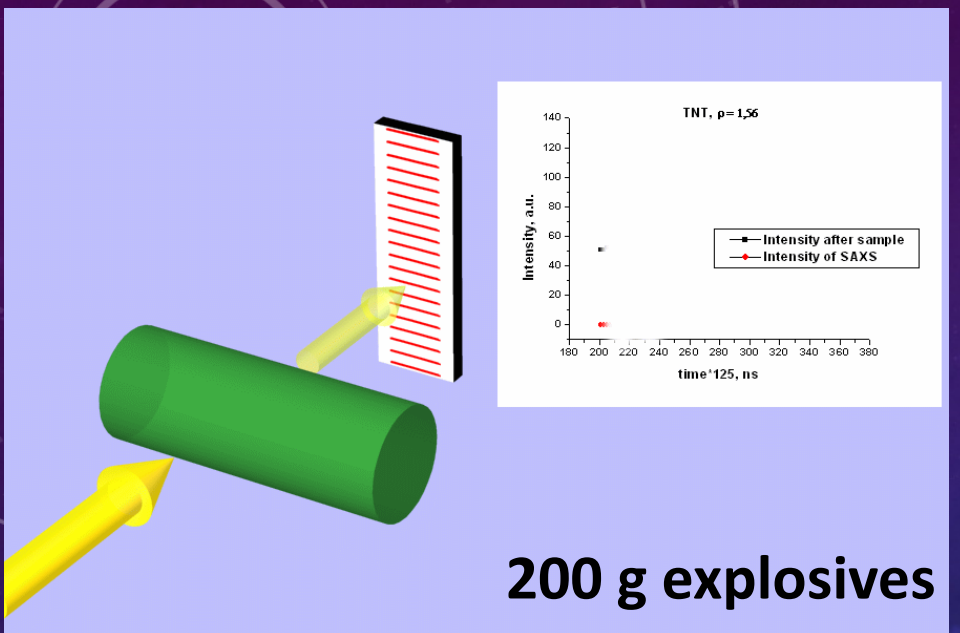


Diamond powder 5 nm

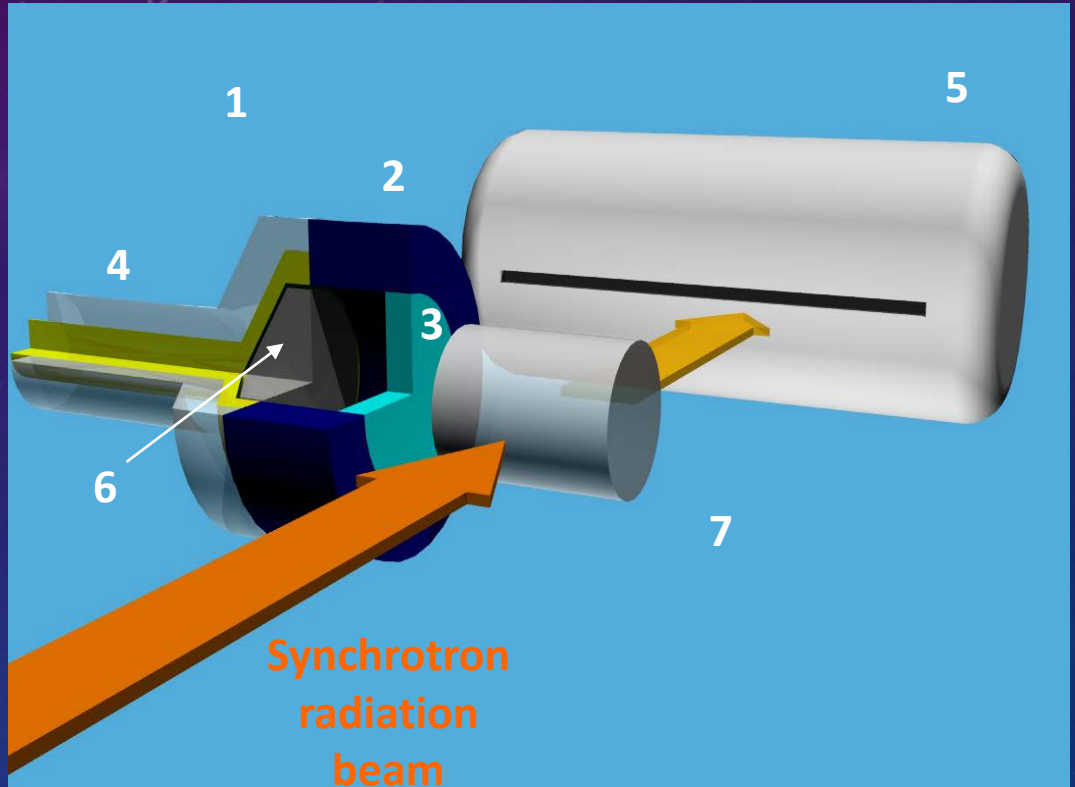


Diamond monolith 1000 nm

# HOW RECEIVE HIGH PRESSURE AND TEMPERATURE ? BY USING DETONATION, SHOCK WAVES AND LASER



100 J  
100  $\mu$ s  
1  $\text{mm}^2$

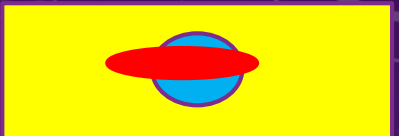


**Shock wave adiabatic heating:** 1- flat wave generator, 2- gun tube, 3-plunger, 4-detonator, 5-detector, 6- explosive, 7- sample.

# EXPERIMENTAL CONDITIONS

- New wigglers – new spectrum range, high intensity
- High energy at VEPP-4 (4,7 GeV) – new spectrum range
- New detectors – picosecond time resolution
- LASER 100 J, 100  $\mu$ s
- Explosion chamber for 200 g of TNT
- X-ray focusing optics
- BINP support (director, laboratories heads, scientific council)

# SYNCHROTRON RADIATION GENERATION SR



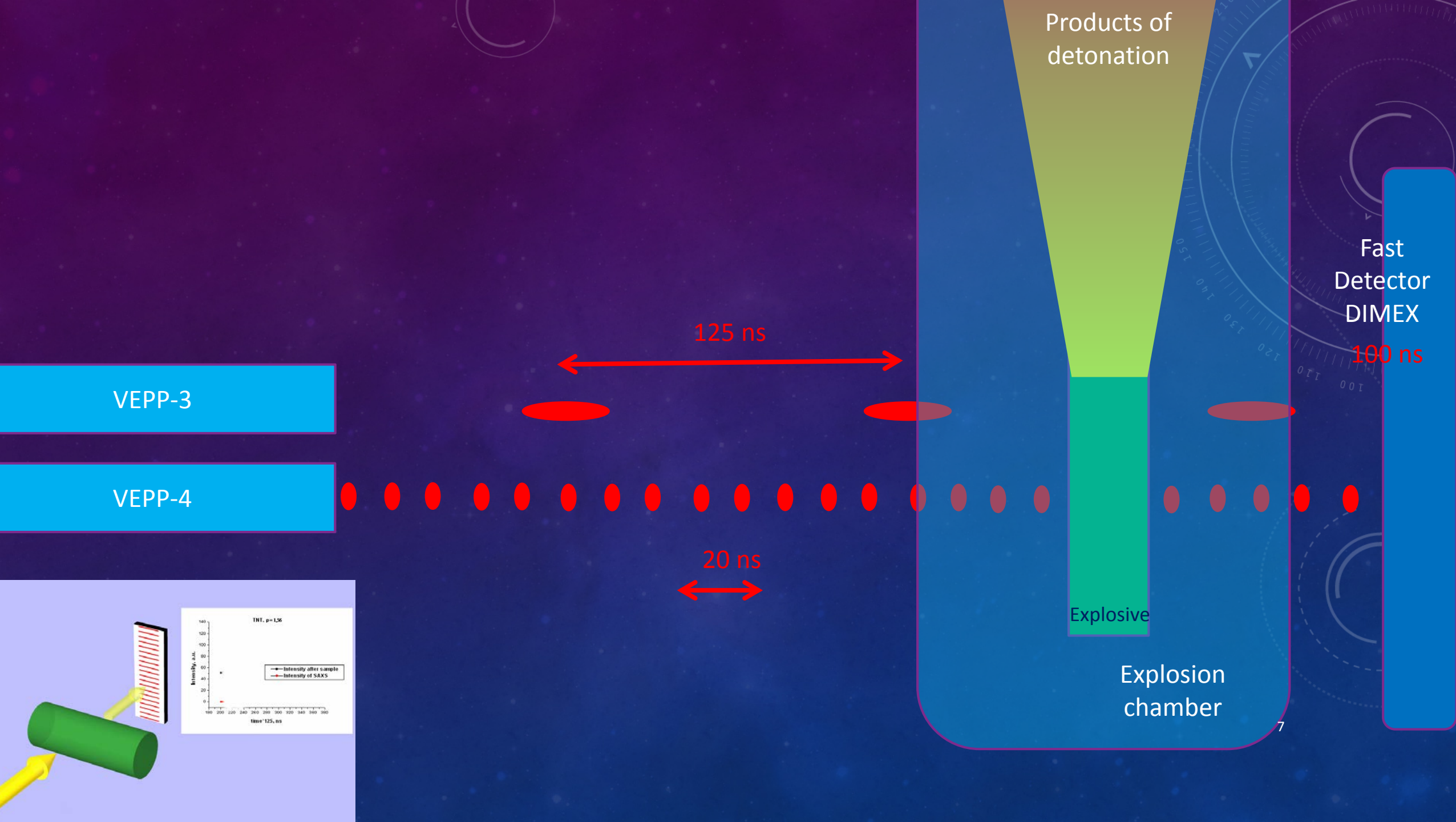
wiggler

## Storage ring VEPP-4:

Period – 1200 ns  
interval – 5 ns  
interval – 10 ns  
interval – 15 ns  
interval – 20 ns  
exposure 73 ps

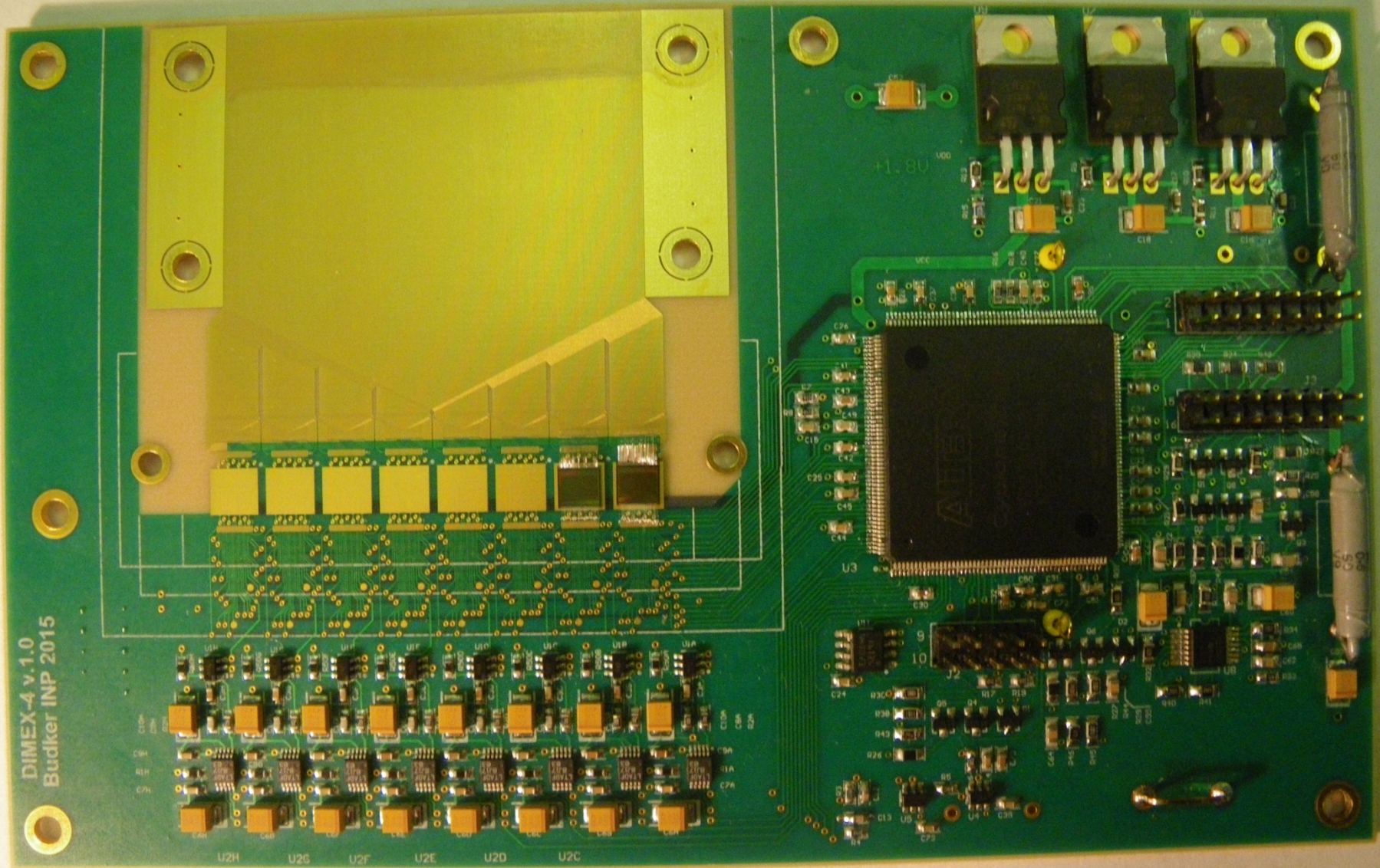
## STORAGE RING VEPP-3:

Period – 250 ns  
Interval – 250 ns  
Interval\* – 125 ns  
Exposure - 1000 ps

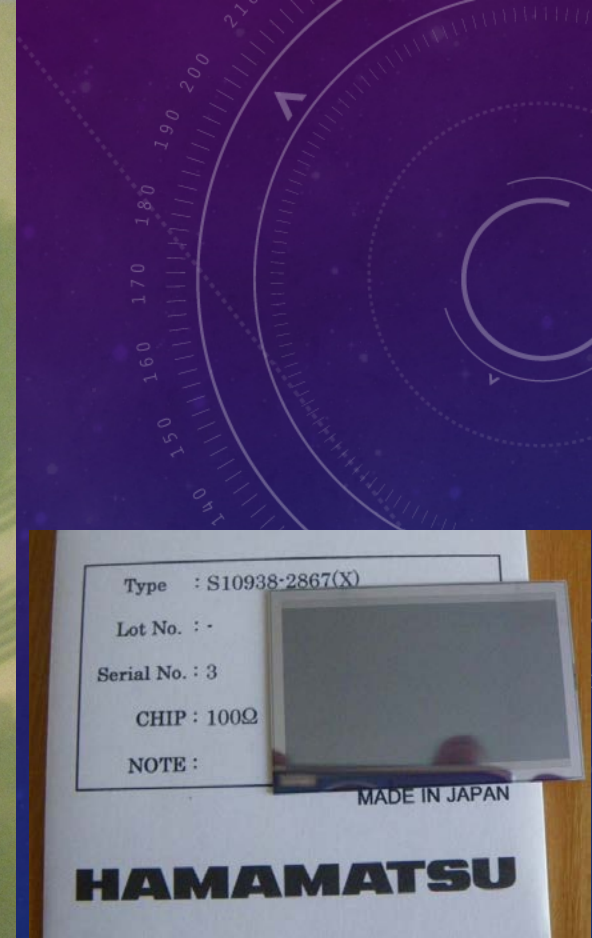


## EXPERIMENTAL CONDITIONS

- New wigglers – new spectrum range, high intensity
- High energy at VEPP-4 (4,7 GeV) – new spectrum range
- New detectors – picosecond time resolution (exposure time), interval 100 ns
- LASER 100 J, 100  $\mu$ s
- Explosion chamber for 200 g of TNT
- X-ray focusing optics
- BINP support (director, laboratories heads, scientific council)



DIMEX-G

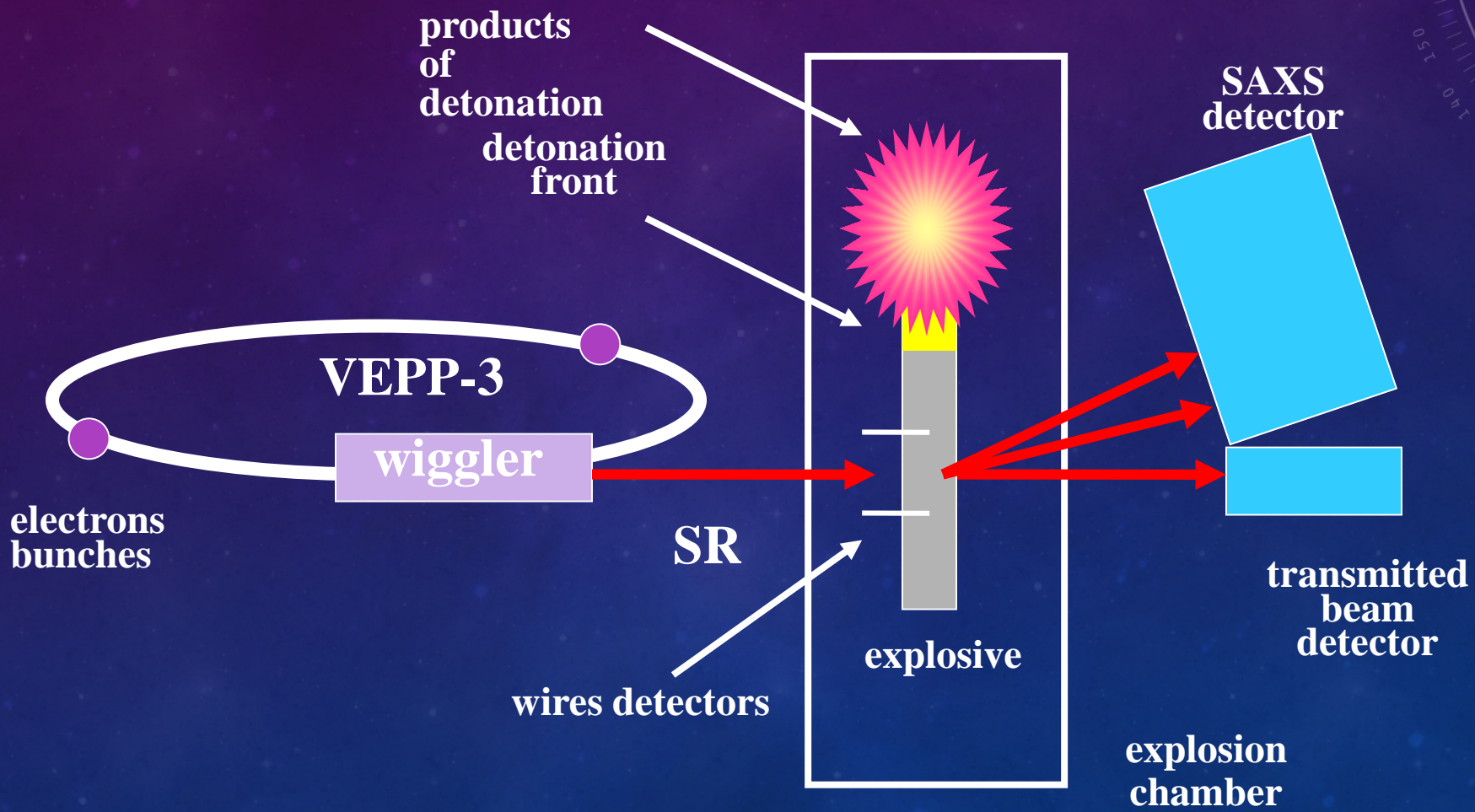


Strip structure for  
DIMEX-Si

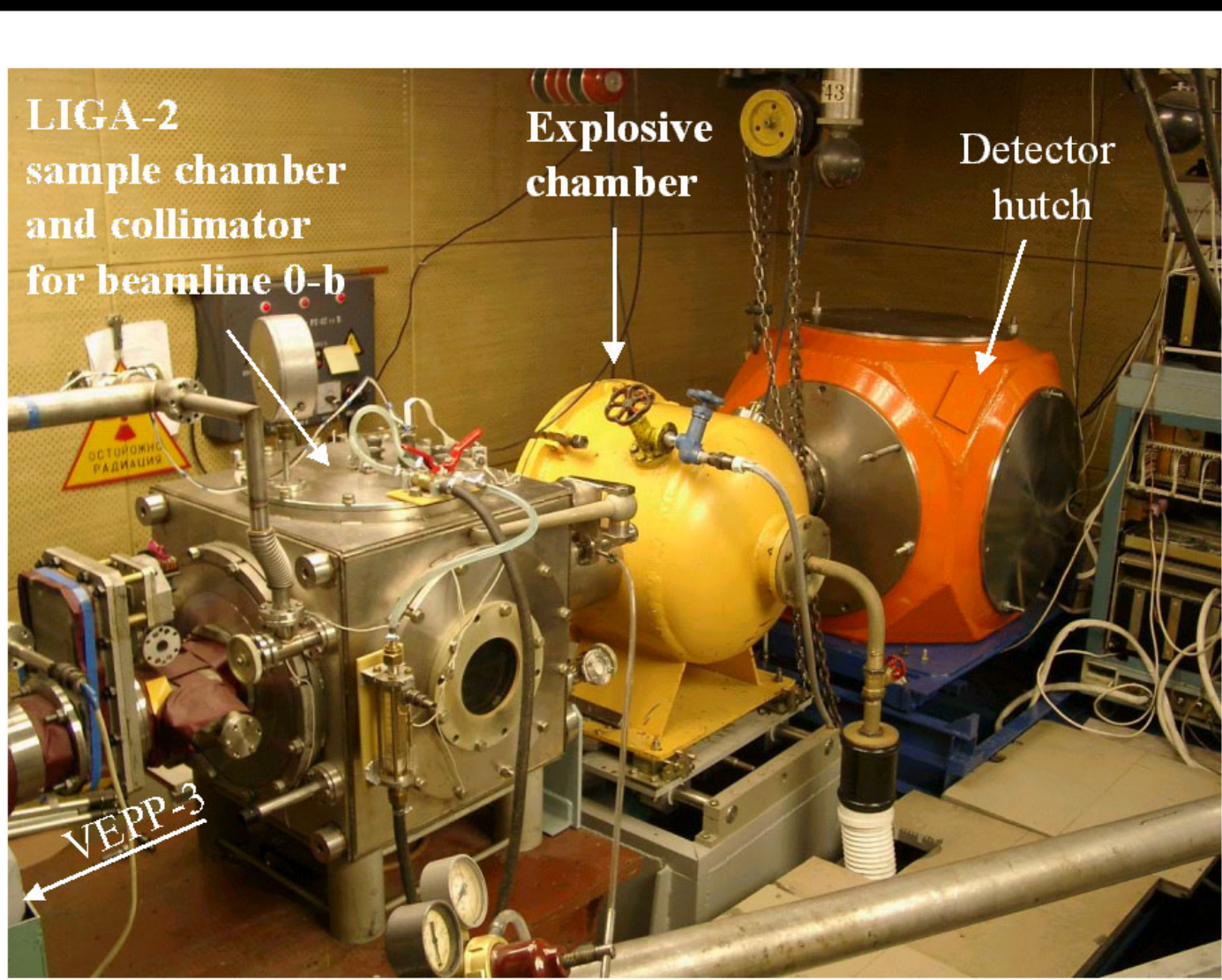
# EXPERIMENTAL CONDITIONS

- New wigglers – new spectrum range, high intensity
- High energy at VEPP-4 (4,7 GeV) – new spectrum range
- New detectors – picosecond time resolution
- LASER 100 J, 100  $\mu$ s
- Explosion chamber for 200 g of TNT
- X-ray focusing optics

# Experimental setup of explosion experiment at VEPP-3



# SYNCHROTRON RADIATION EXPERIMENTAL STATION FOR EXPLOSION INVESTIGATION



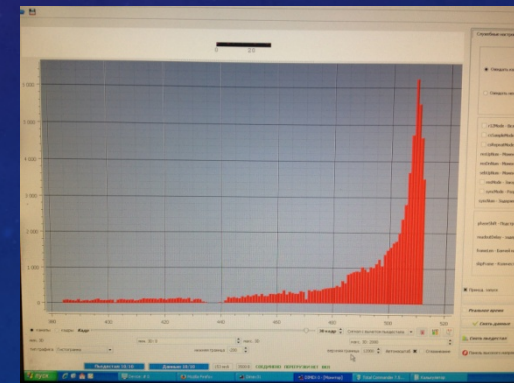
# EXPERIMENTAL STATION "DETONATION" AT VEPP-4



Explosive diameter 40 mm  
Weight 200 g



Detector  
DIMEX



SAXS with  
exposure 73 ps

# EXPERIMENTAL CONDITIONS

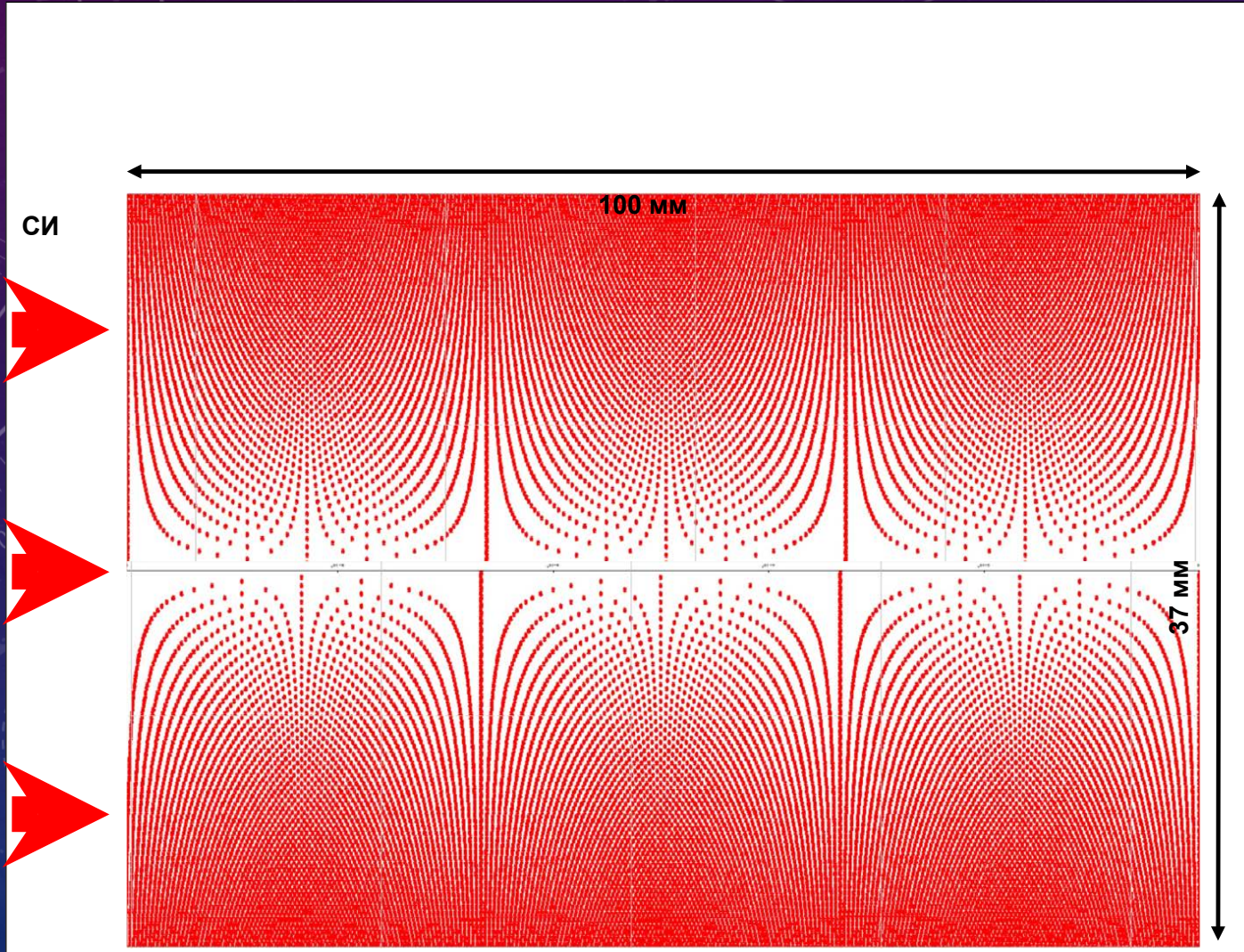
- New wigglers – new spectrum range, high intensity
- High energy at VEPP-4 (4,7 GeV) – new spectrum range
- New detectors – picosecond time resolution
- LASER 100 J, 100  $\mu$ s
- Explosion chamber for 200 g of TNT
- X-ray focusing optics

# X-RAY OPTIC

150000 ELEMENTS

MATERIALS: PMMA, SU-8, NI

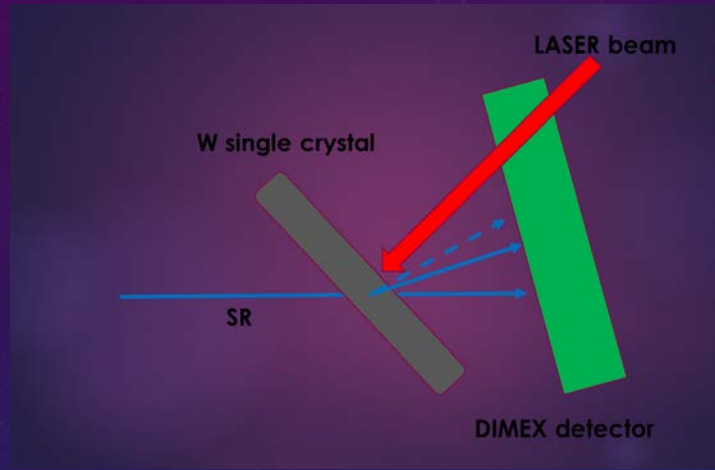
V.NAZMOV REPORT



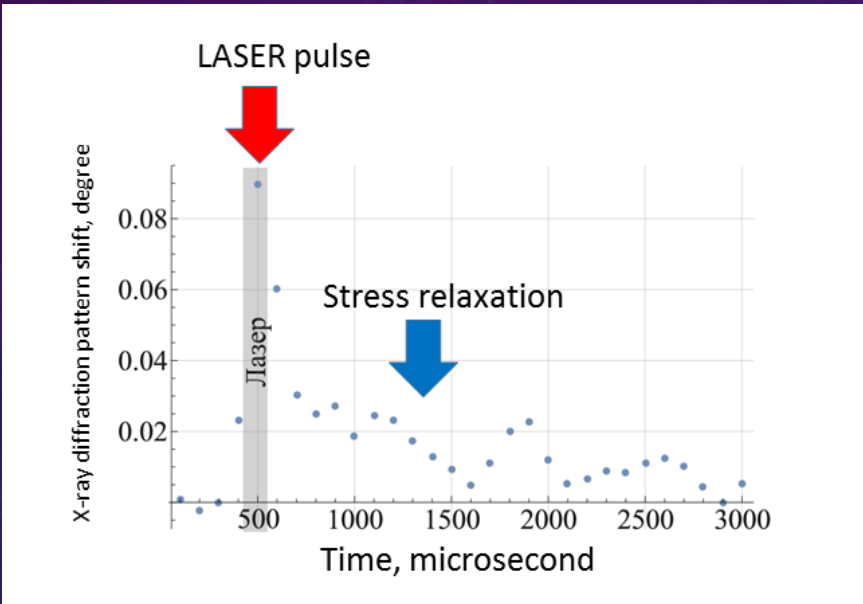
# EXPERIMENTAL CONDITIONS

- New wigglers – new spectrum range, high intensity
- High energy at VEPP-4 (4,7 GeV) – new spectrum range
- New detectors – picosecond time resolution
- LASER 100 J, 100  $\mu$ s
- Explosion chamber for 200 g of TNT
- X-ray focusing optics

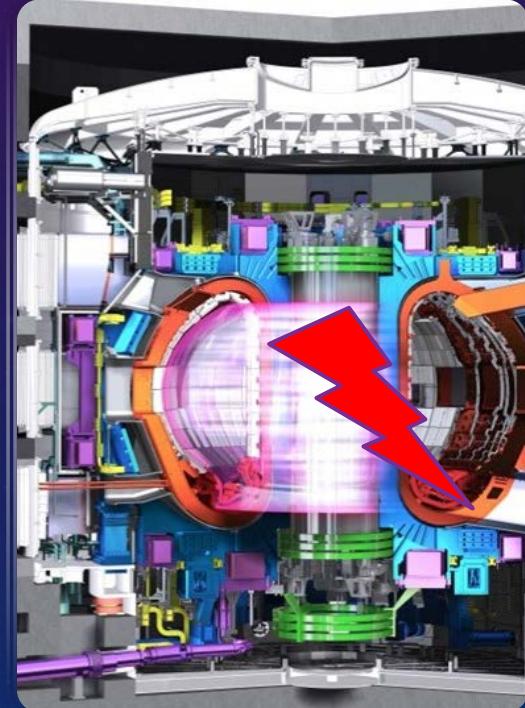
# ITER: PLASMA DISCHARGE ON THE DIVERTER. MATERIAL BEHAVIOR. MODEL EXPERIMENT WITH LASER PULSE HEATING. NEED NEW MATERIALS



The scheme of model experiment with LASER pulse heating during 100 microseconds.



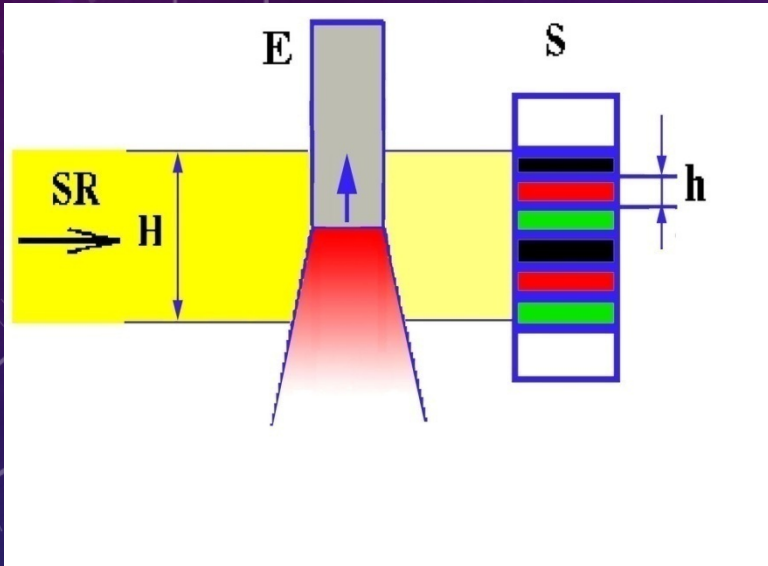
The experimental data of model experiment with LASER pulse heating .



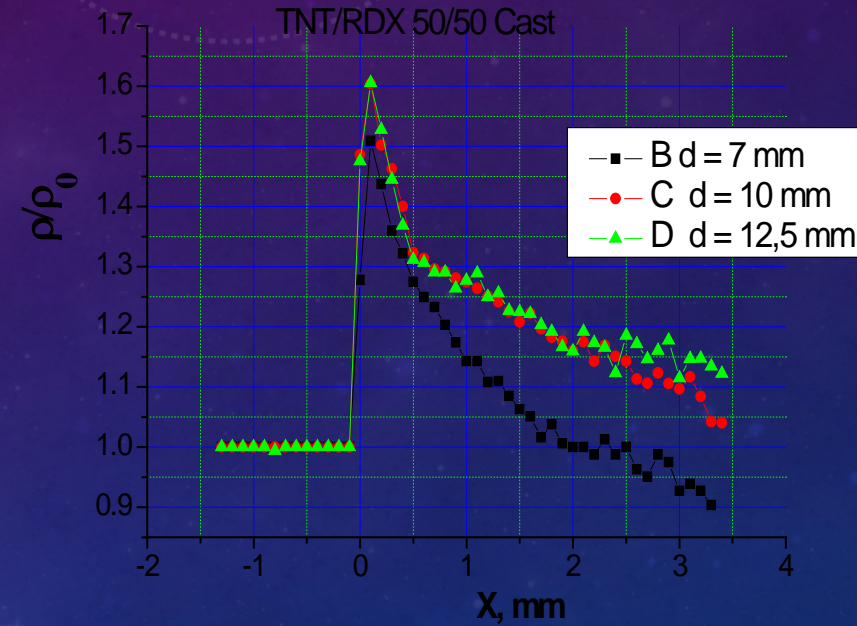
- Now we are preparing an experiment to study the behavior of the crystal lattice of the material of the fusion reactor first wall in a plasma discharge on the divertor

# SCIENTIFIC RESULTS

# Detonation front structure measurements with using SR

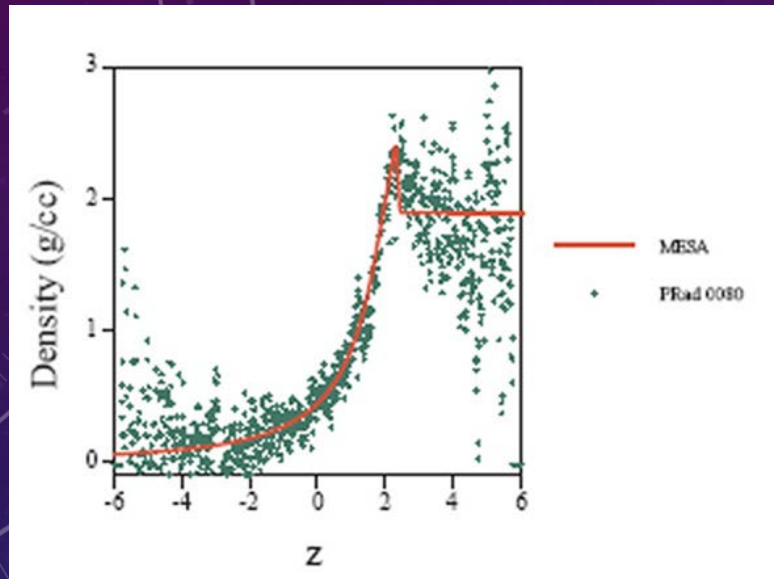


Experimental setup on SR beam. Beam width  $H=18$  mm, thickness 0,4 mm.  
Exposure time 1 ns. DIMEX detector strip width  $h=0,1$  mm.

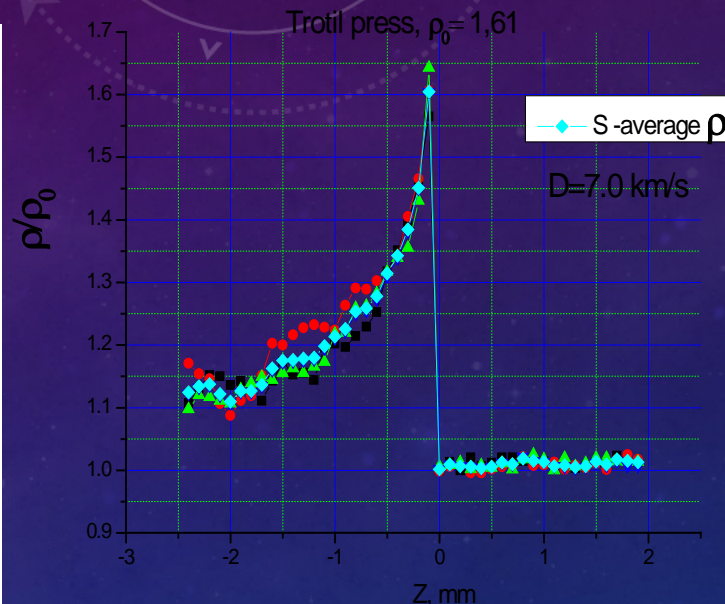


Relatively density at detonation front of explosives TNT/RDX 50/50, diameter 7 mm, 10 mm and 12,5 mm, 13 ns time resolution

## Las Alamos (LANL, protons) and Novosibirsk (BINP, synchrotron radiation) experimental of density measurements at detonation front

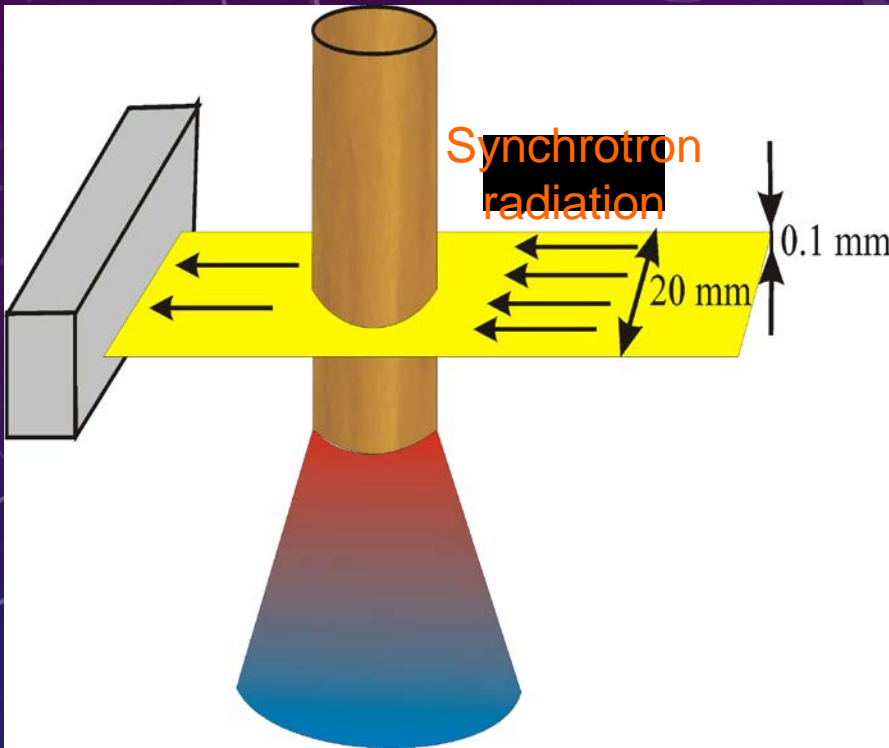


**Las Alamos. Proton experiment.**  
Comparison of the density on axis from the MESA calculation density (red line) estimated from a single frame in green points for PBX9502.

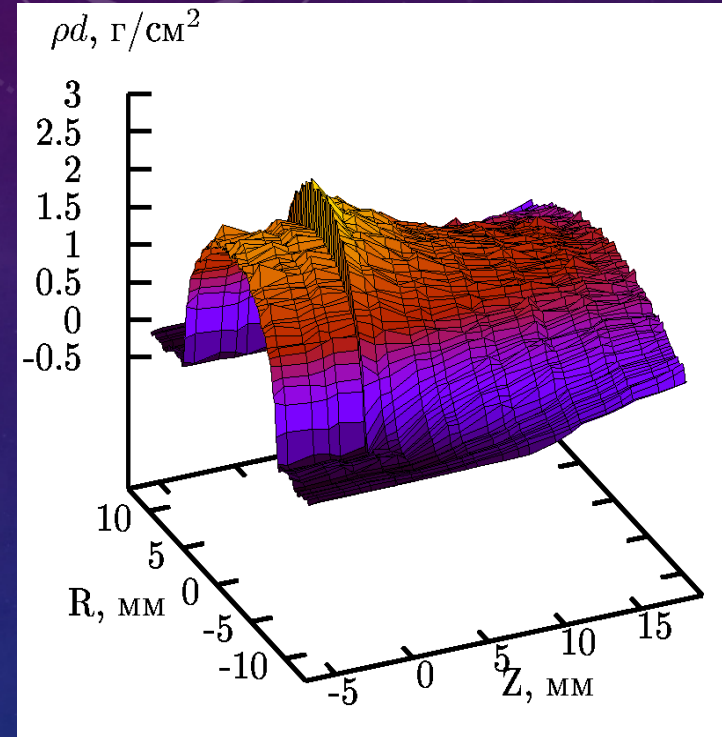


**BINP. SR experiment**  
Experimental date received in explosion experiment of TNT.

# DENSITY MEASUREMENT OF EXPLOSION PRODUCTS AFTER DETONATION FRONT WITH USING SYNCHROTRON RADIATION

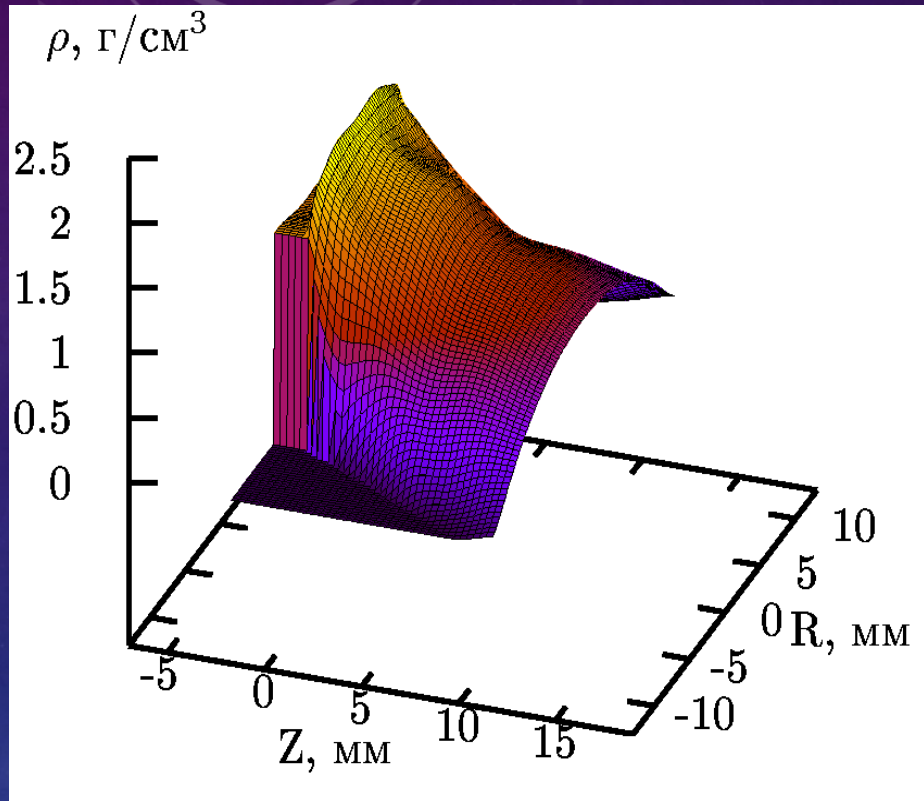
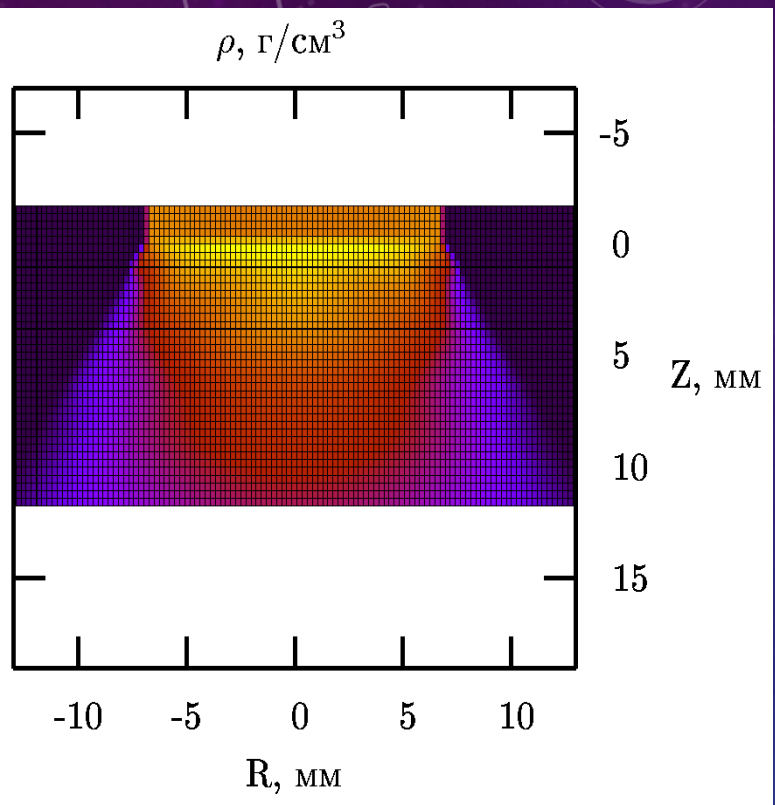


Experiment setup.



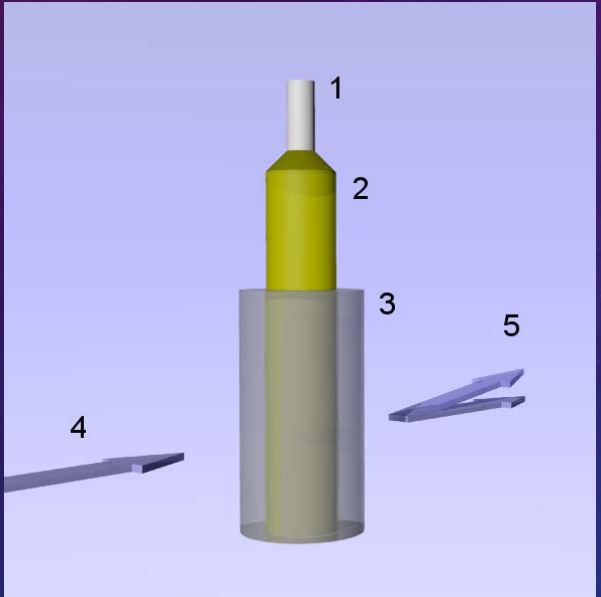
Density distribution.

# Density measurement of explosion products after detonation front with using synchrotron radiation. Precision 1 % !

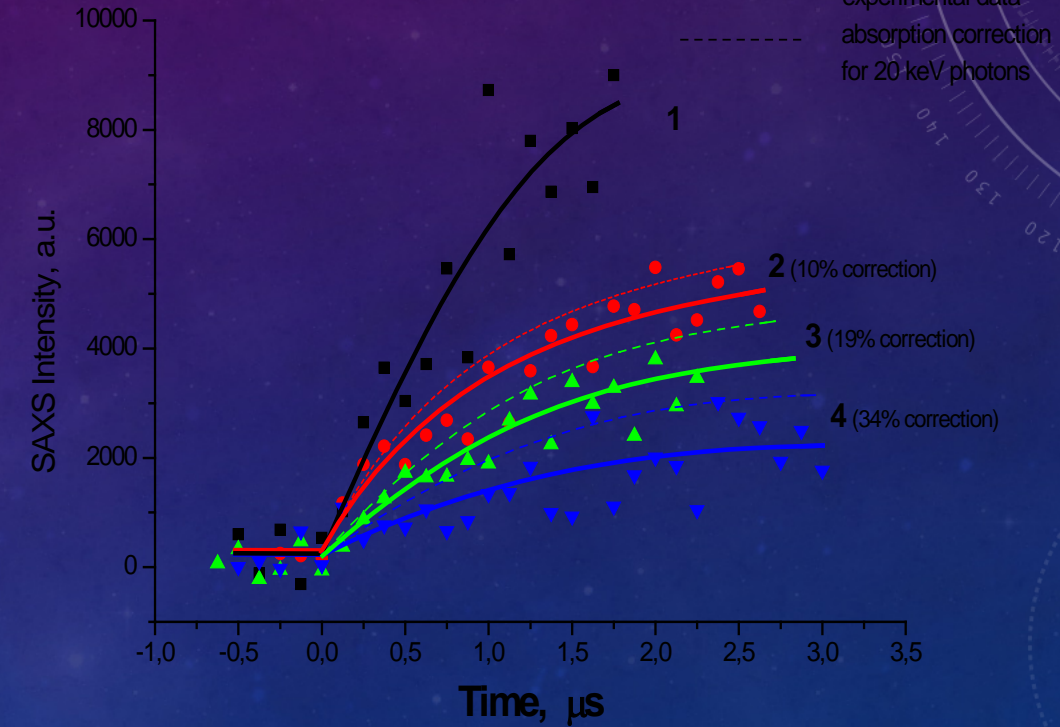


Density reconstruction of explosion product of TNT.

# INFLUENCE OF DISPERSION CONDITION OF DETONATION PRODUCTS AT NANODIAMOND NUCLEATION

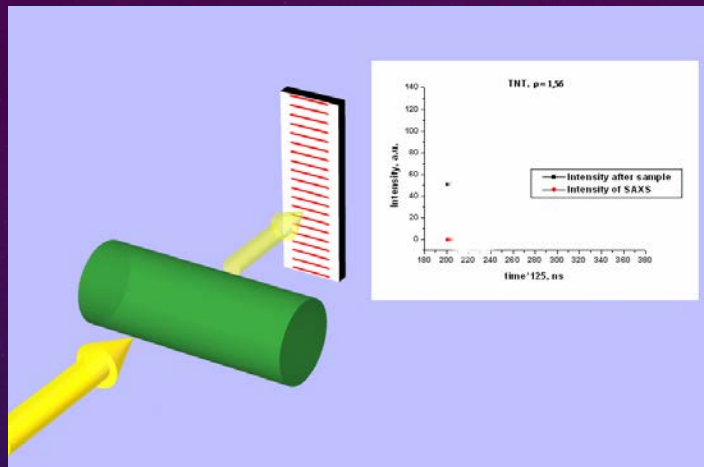


The experiment setup for changing of dispersion condition of detonation products. Detonator – (1), Explosive – (2), PMMA muff – (3), SR beam – (4), SAXS – (5).

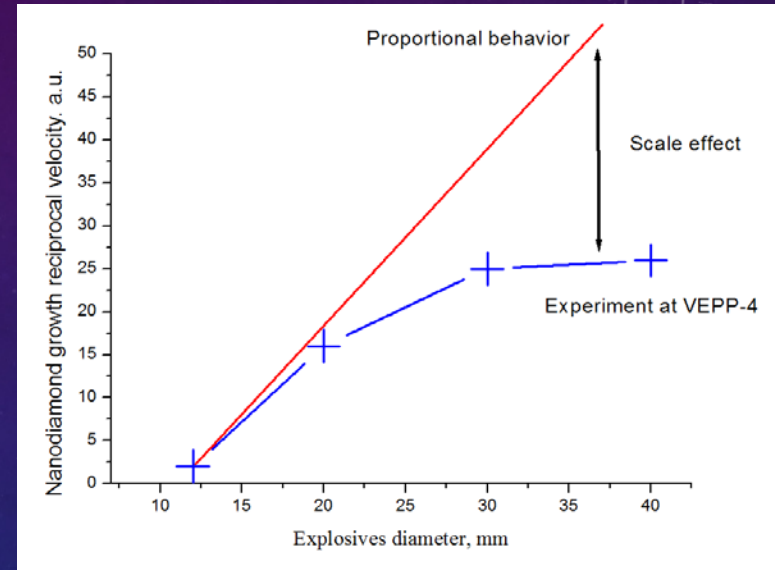


The SAXS signal time dependence from RDX-TNT (50/50) with using PMMA tube with thickness: no tube – (1), 1,5 mm – (2), 3 mm – (3), 6 mm – (4).

# DETONATION DIAMOND NUCLEATION : SCALE EFFECT



- The scheme of SAXS experiment during detonation of explosive trotyl/hexogen.
- It was found that an increase the mass of explosives leads to increases of produced diamonds mass. Accordingly, increases the rate of formation of diamonds. However, the dependence of the diamonds mass versus the mass of explosive is nonlinear. Also there is non-linear dependence of the formation rate of diamonds versus the weight of the explosives. Thus we observe a scale effect.
- Interpretation: the dependence of chemical reactions from the detonation conditions (diameter), the formation of larger diamonds in the detonation of explosives with large diameters.



# CONTROL OF THE DIAMOND NUCLEATION PROCESS

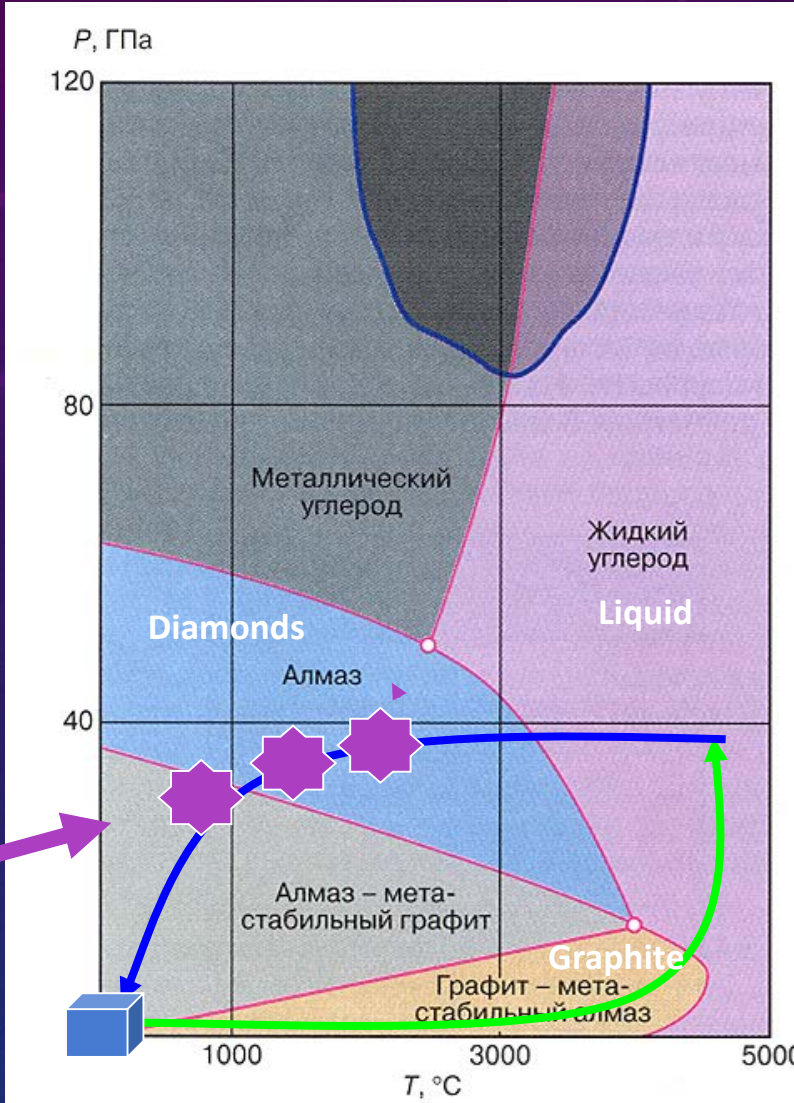
Correction of  
Zeldovich theory  
and textbooks  
for university



Control the area  
in PD and  
velocity of  
nucleation

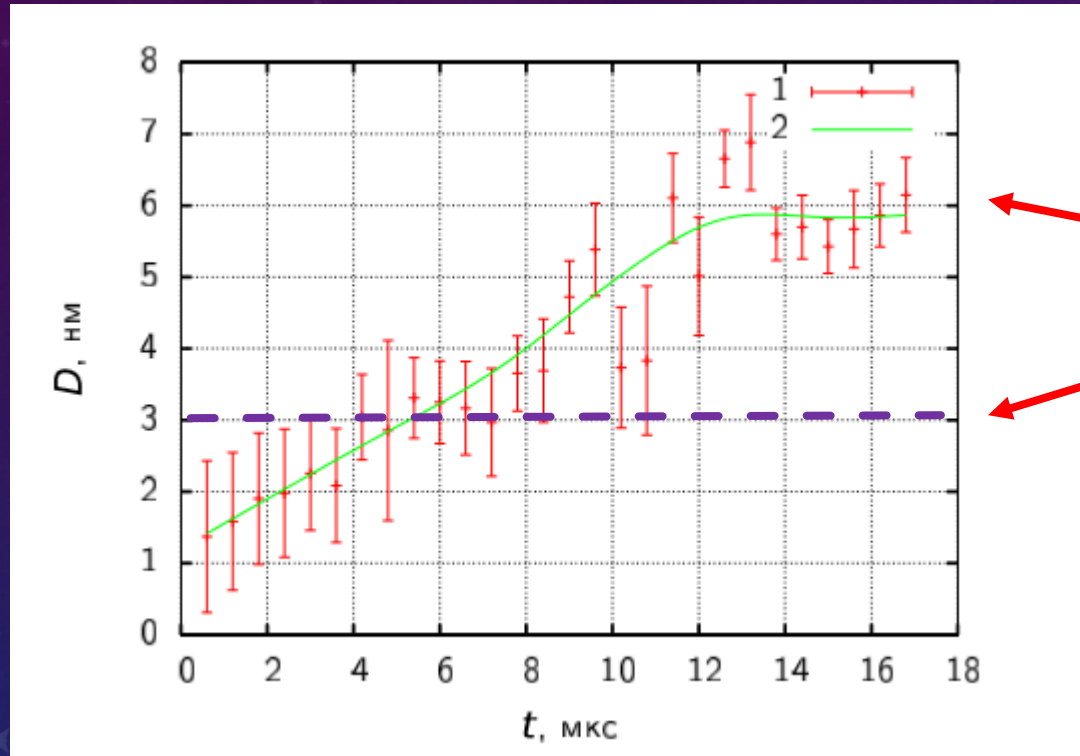


Scientific results



Carbon phase diagram and load-reload model.

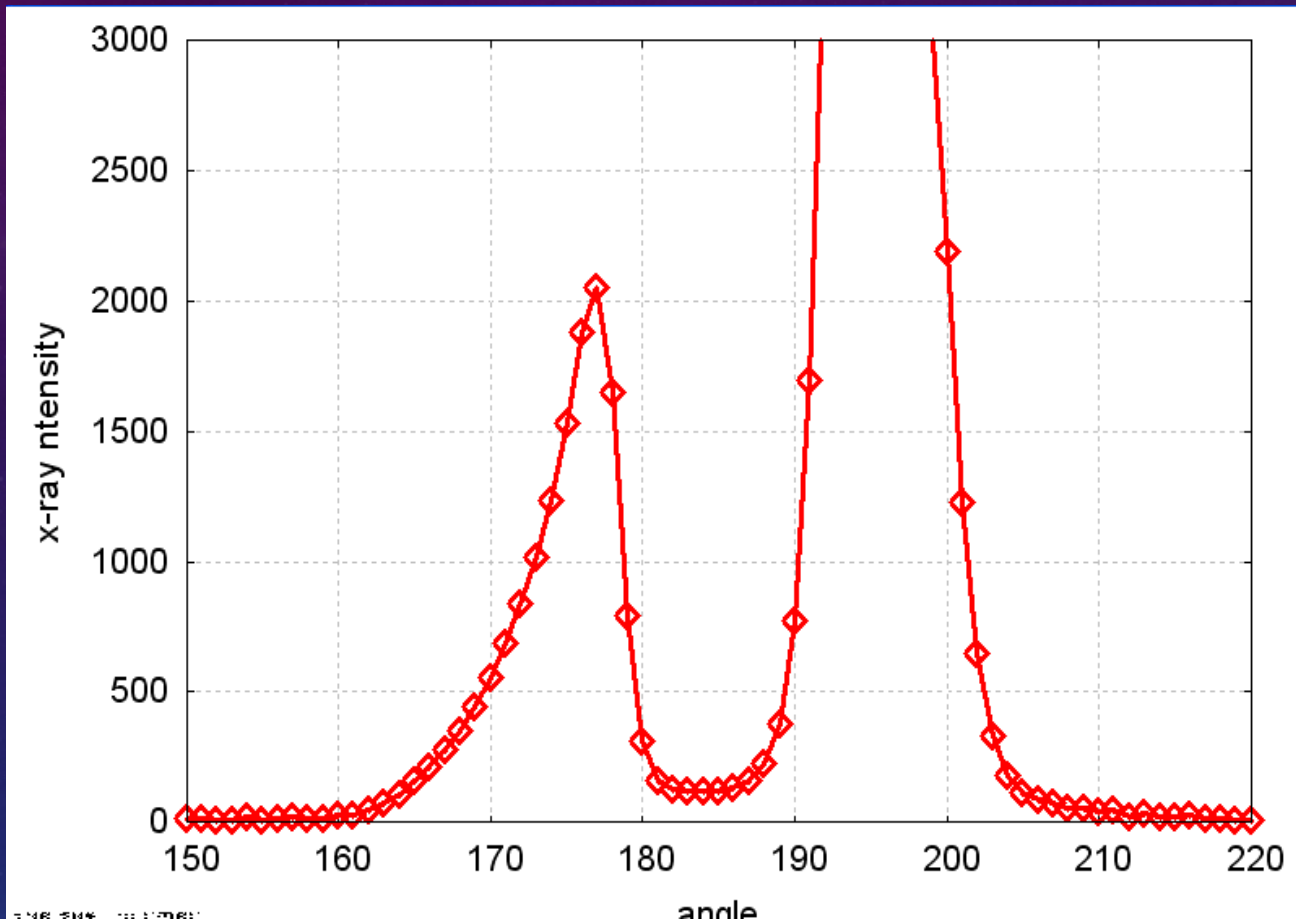
# DIAMOND SIZE GROUSE DURING TNT DETONATION



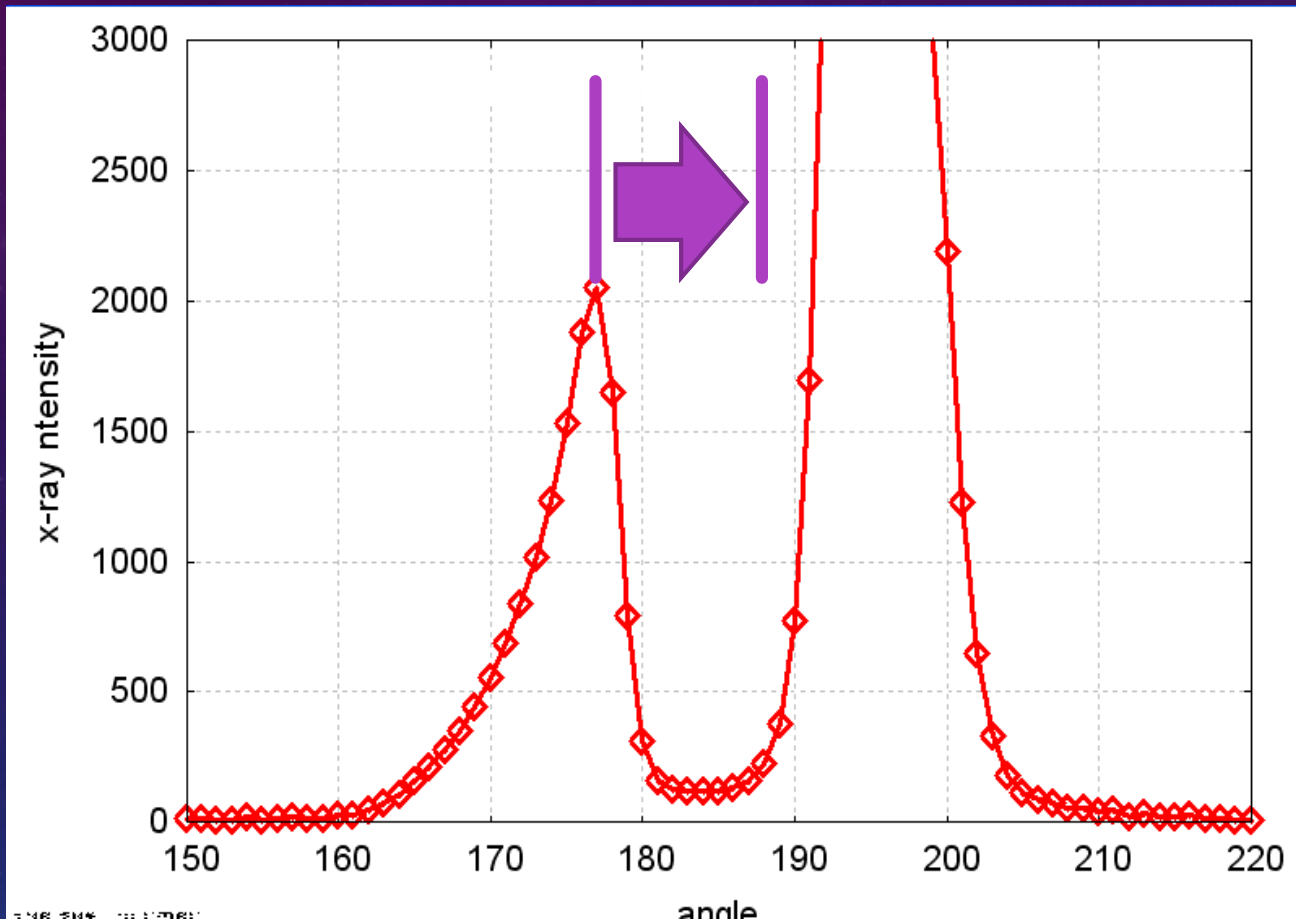
- Rubtsov Ivan – student Novosibirsk University
- Argonne National Laboratory - APS

THANK YOU FOR ATTENTION

## SAXS with 1 ns exposure



## SAXS with 1 ns exposure



# НОВЫЕ ВОЗМОЖНОСТИ ДЛЯ МУРР

- **ВЭПП-3:**

Количество наночастиц

Размер наночастиц в диапазоне 1-100 нм

- **ВЭПП-4**

Формфактор наночастиц (кристаллическая структура, распределение плотности внутри частицы)

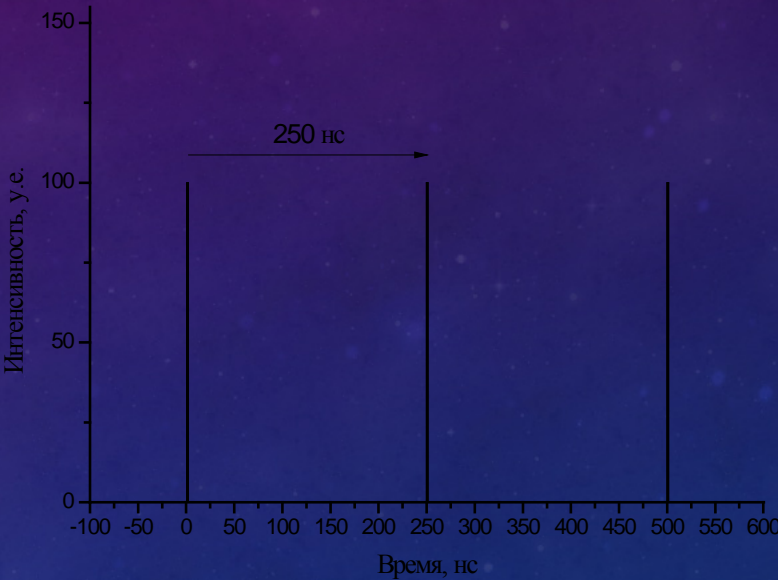
Размер наночастиц в диапазоне 1-1000 нм



# ВОЗМОЖНАЯ СТРУКТУРА РАСПОЛОЖЕНИЯ БАНЧЕЙ НА ОРБИТЕ ВЭПП-3 И ВЭПП-4



Расположение сгустка электронов на орбите ВЭПП-3 в однобанчевом режиме. Периметр орбиты 74.39 м, длина сгустка порядка 30 см.

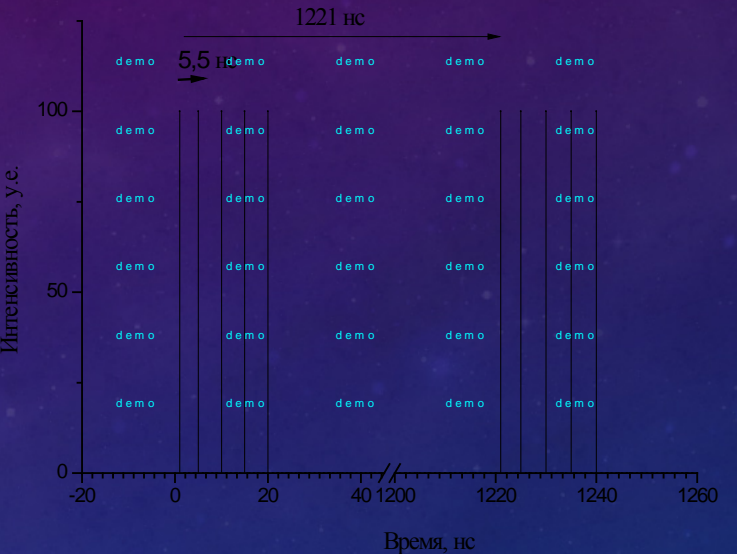


Временная структура синхротронного излучения из ВЭПП-3 в однобанчевом режиме. Период между импульсами рентгеновского излучения равен 250 нс. Длительность импульса равен 1 нс.

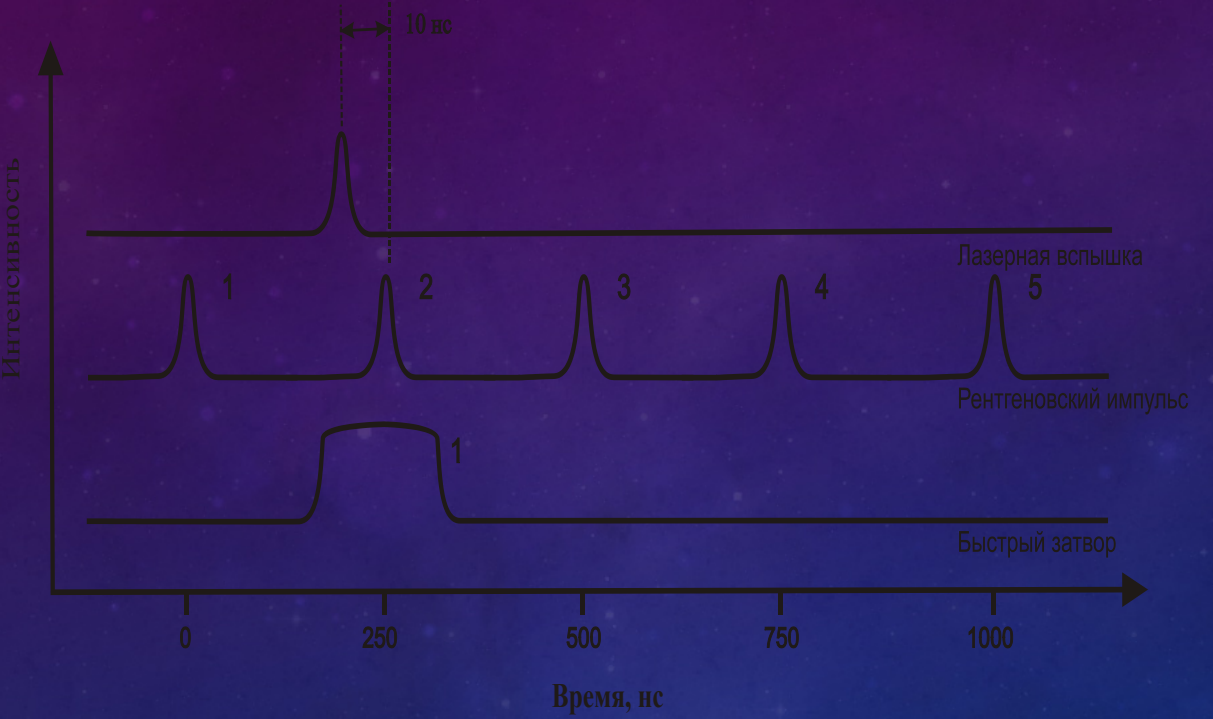
# ВОЗМОЖНАЯ СТРУКТУРА РАСПОЛОЖЕНИЯ БАНЧЕЙ НА ОРБИТЕ ВЭПП-4



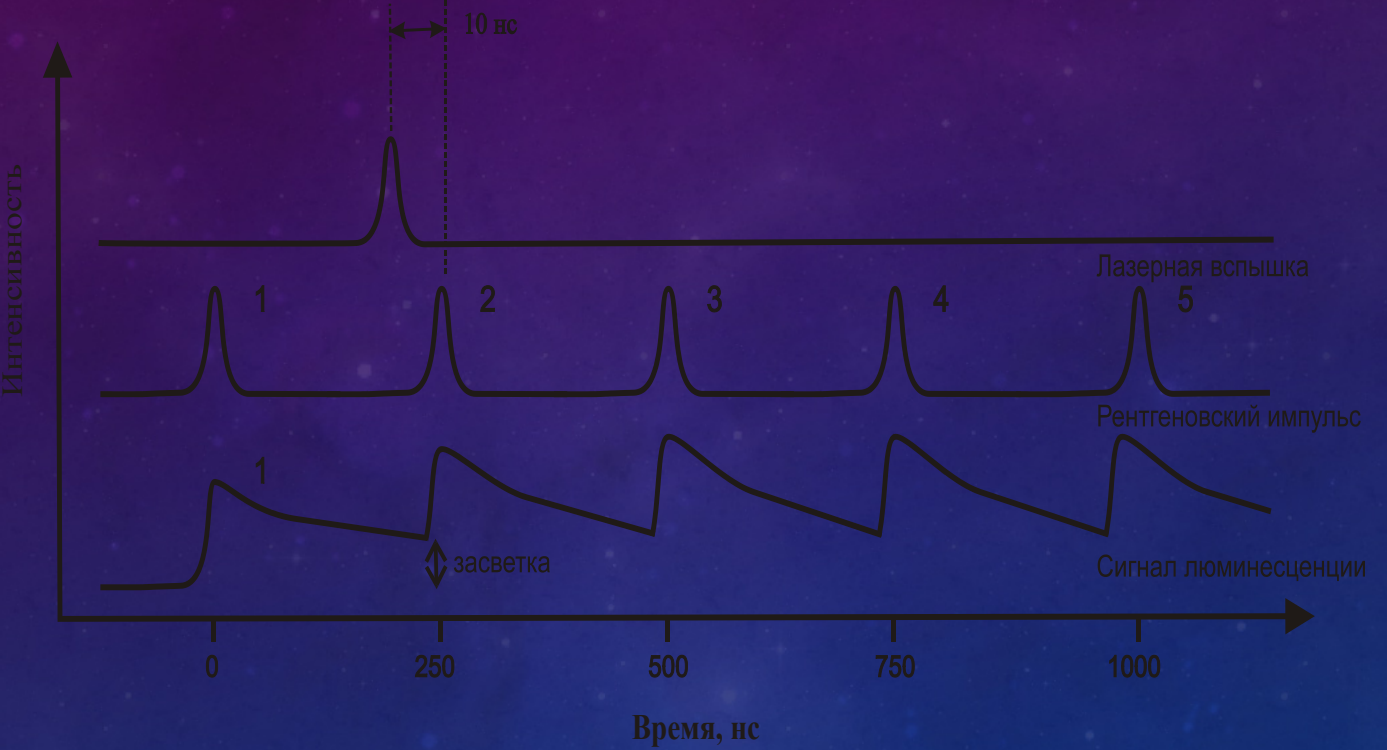
5-ти бunchedий режим - один из теоретически возможных вариантов расположения сгустков электронов на орбите ВЭПП-4 при непрерывном заполнении сепаратрис. Периметр орбиты 366.075 , расстояние между сгустками 165 см, длина сгустка порядка 3 см. Однако практически удается расположить банджи на расстоянии не менее 1650 см, что определяется параметрами системы инжекции.



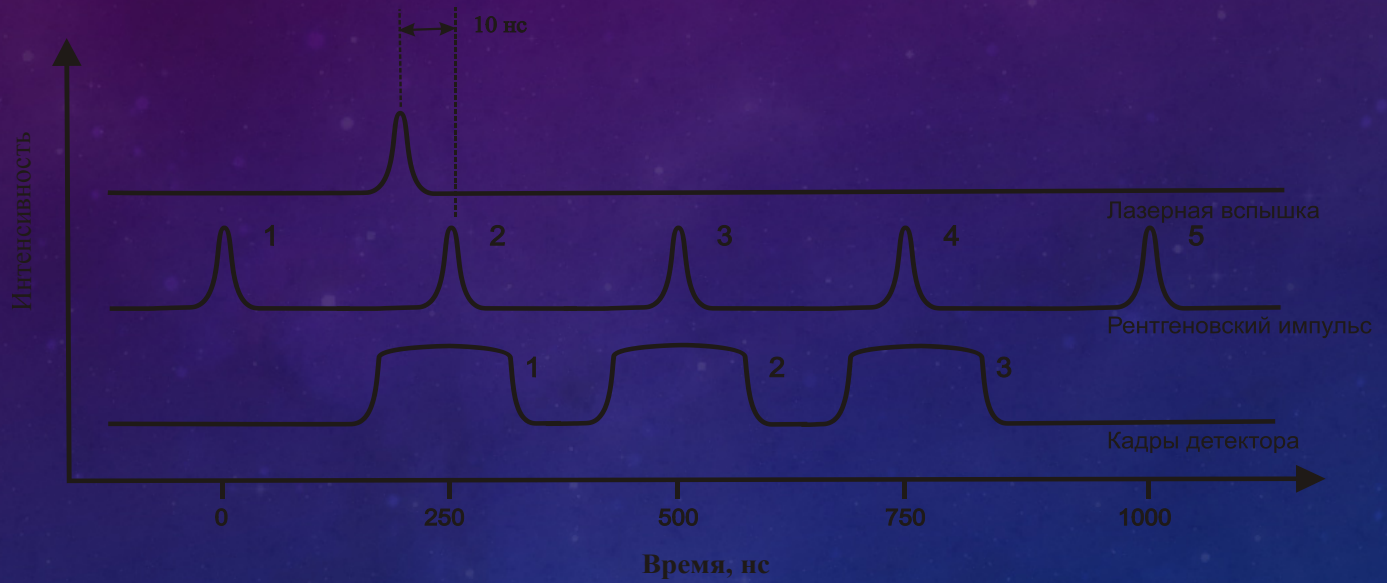
Теоретически возможная временная структура рентгеновских импульсов СИ при 5-ти бunchedий режиме ВЭПП-4. Расстояние между импульсами 5,5 нс, длительность импульса 0,1 нс. Однако практически удается получать минимальное время между импульсами 55 нс..



Временная диаграмма однократного стробоскопического дифракционного эксперимента на ВЭПП-3 в однобанчевом режиме. Основная информация о возбужденной структуре образца через 10 нс после облучения лазером содержится в дифрагированном излучении от импульса № 2. Остальные импульсы создают фоновую засветку. Чтобы убрать фоновую засветку, необходимо перекрыть рентгеновские импульсы № 1, 3, 4 и 5. Либо включить детектор только для регистрации дифракции от рентгеновского импульса № 2.



Влияние большого времени затухания люминисценции люминофора от рентгеновского импульса № 1 , в конверторе рентген – свет на фоновые условия регистрации дифракции рентгеновского импульса № 2.  
Именно дифракция излучения импульса № 2 содержит информацию о структуре вещества через 10 нс после возбуждения ее лазерным излучением.



Временная диаграмма однократного дифракционного эксперимента в режиме «дифракционного кино». Цель эксперимента – зафиксировать дифрагированное излучение банчей № 2, 3, 4, 5.

# ОПРЕДЕЛЯЮЩИЕ ФАКТОРЫ РАЗВИТИЯ РАБОТ С СИНХРОТРОННЫМ ИЗЛУЧЕНИЕМ НА ВЭПП-4

Изменение фундаментальных параметров синхротронного излучения при увеличении энергии

**Критическая энергия**

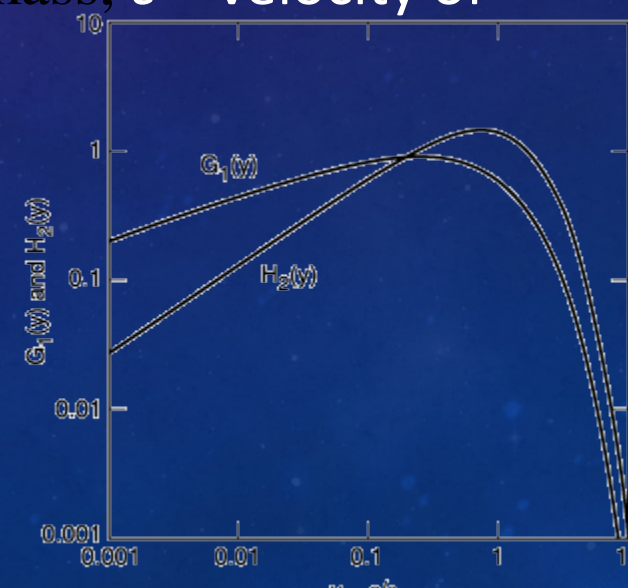
$$\varepsilon_c \text{ [keV]} = 0.665 E^2 \text{ [GeV]} B[\text{T}]$$

**Расходимость пучка СИ**

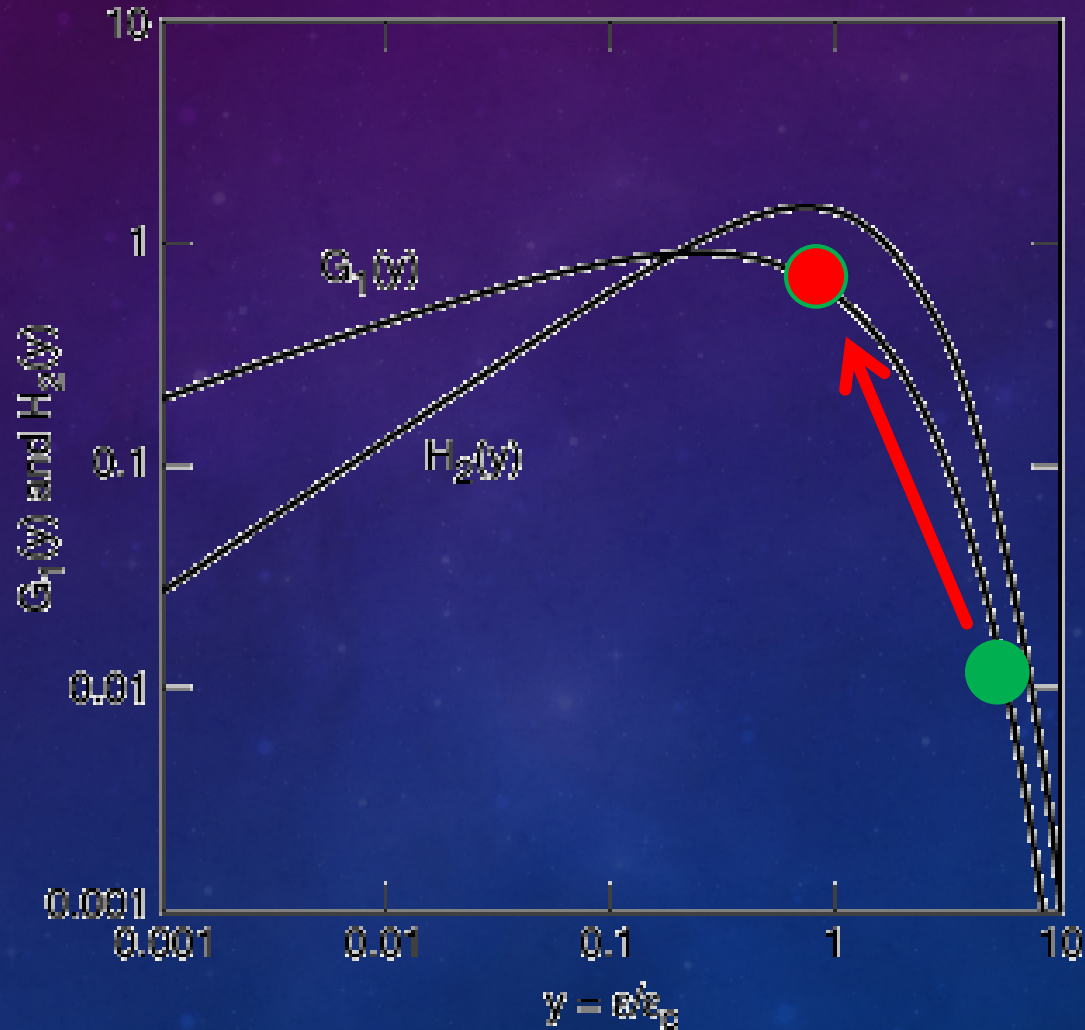
$1/\gamma \quad \gamma = \text{electron energy}/m_e c^2$  ( $m_e = \text{electron mass}$ ,  $c = \text{velocity of light}$ )

**Яркость** [photons $\cdot$ s $^{-1}$  $\cdot$ mr $^{-2}$  $\cdot$ (0.1% bandwidth) $^{-1}$ ],

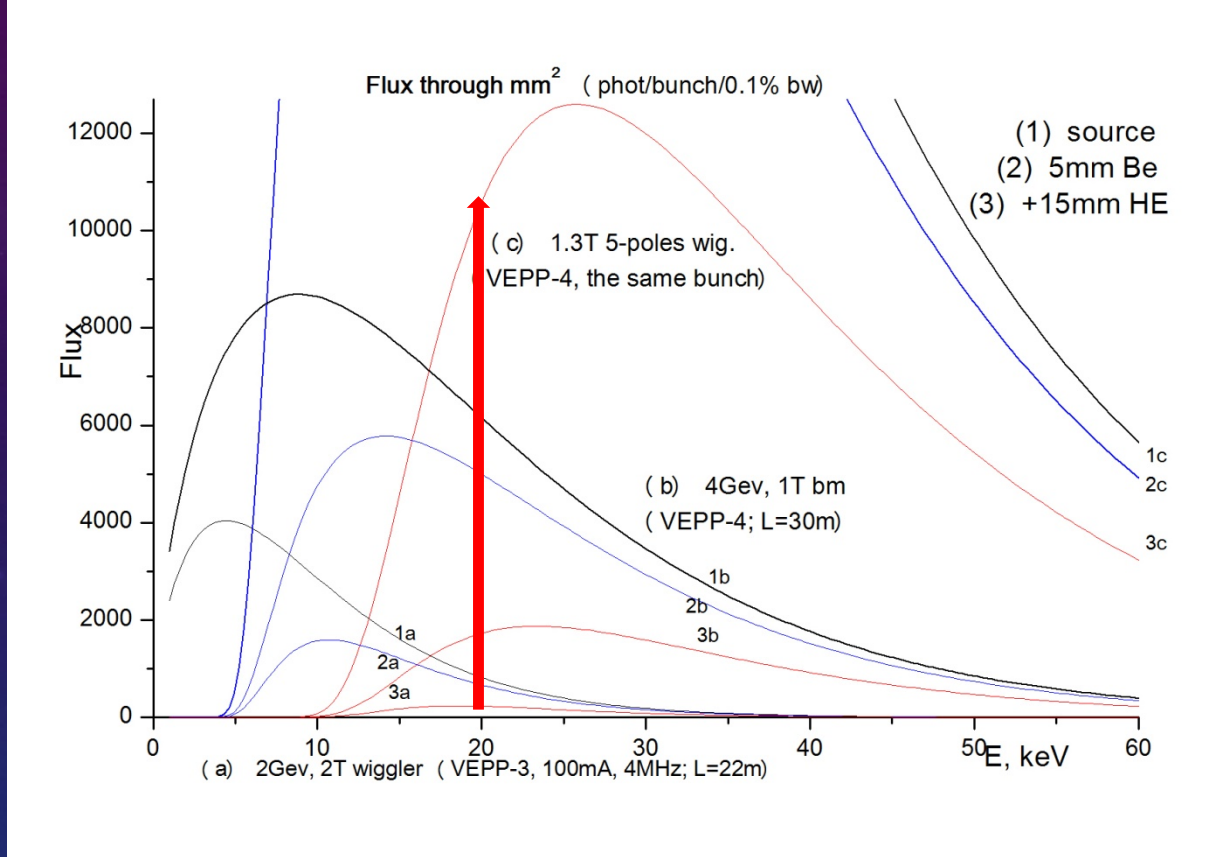
$$\frac{dS_B}{d\theta} = 2.457 \times 10^{13} E[\text{GeV}] I[\text{A}] G_1(\gamma)$$



ЯРКОСТЬ [PHOTONS·S<sup>-1</sup>·MR<sup>-2</sup>·(0.1% BANDWIDTH)<sup>-1</sup>]

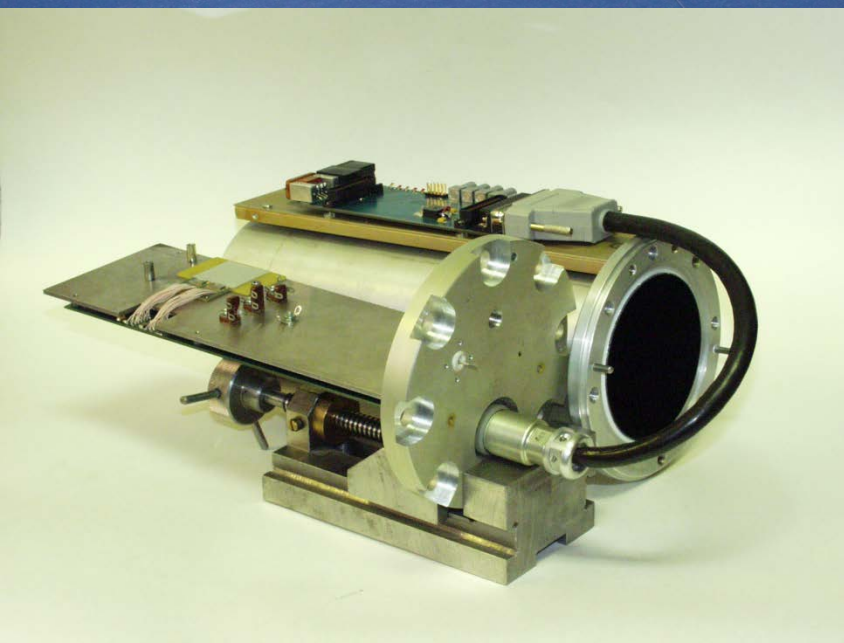
$$\frac{dN}{d\theta} = 2.457 \times 10^{13} E[\text{GeV}] I[\text{\AA}] G_1(\gamma)$$


# НОВЫЕ ВОЗМОЖНОСТИ НА ВЭПП-4



- Спектры излучения на ВЭПП-3 и ВЭПП-4 за 1 нс

# Position sensitive X-ray detector DIMEX with time resolution 100 ns (prototype)



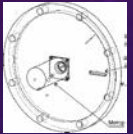
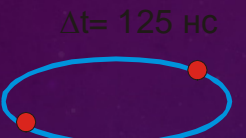
**DIMEX** is the Detector  
for **IMaging of EXPlosions**

**Goal:** perform dynamic imaging synchronously with SR flashes from individual bunches

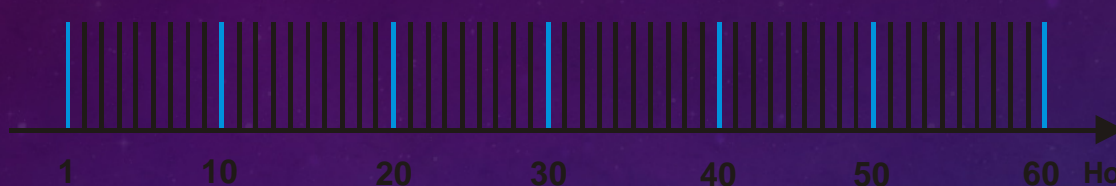
## **Design:**

- GEM with drift gap and microstrip signal PCB
- gas mixture: Xe/20%CO<sub>2</sub> at 7 bar
- readout and DAQ: based on PSI's IC APC128 provided 32 x 100 ns frame-by-frame measurements

# ВРЕМЕННАЯ СТРУКТУРА ЭКСПЕРИМЕНТА



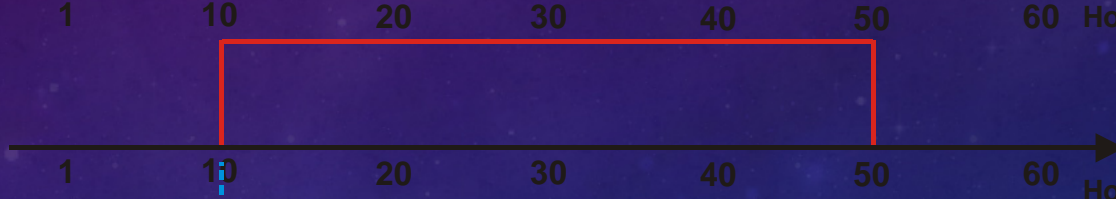
ВЧ сигнал



сигнал  
оператора  
К.А.Тен



быстрый  
затвор



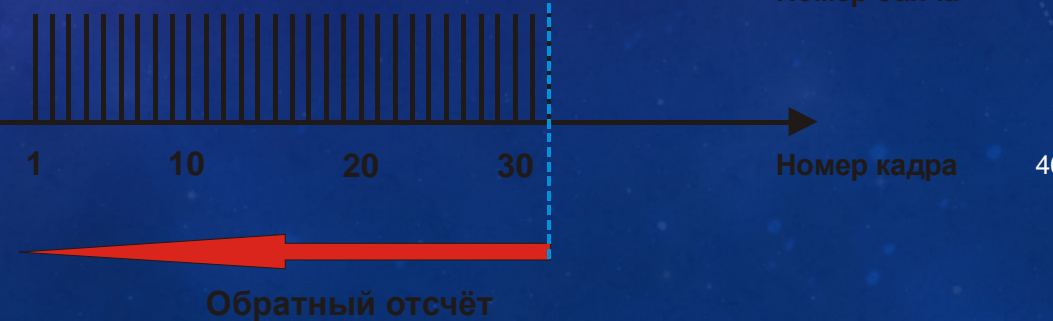
запуск  
детонатора



контактный  
датчик



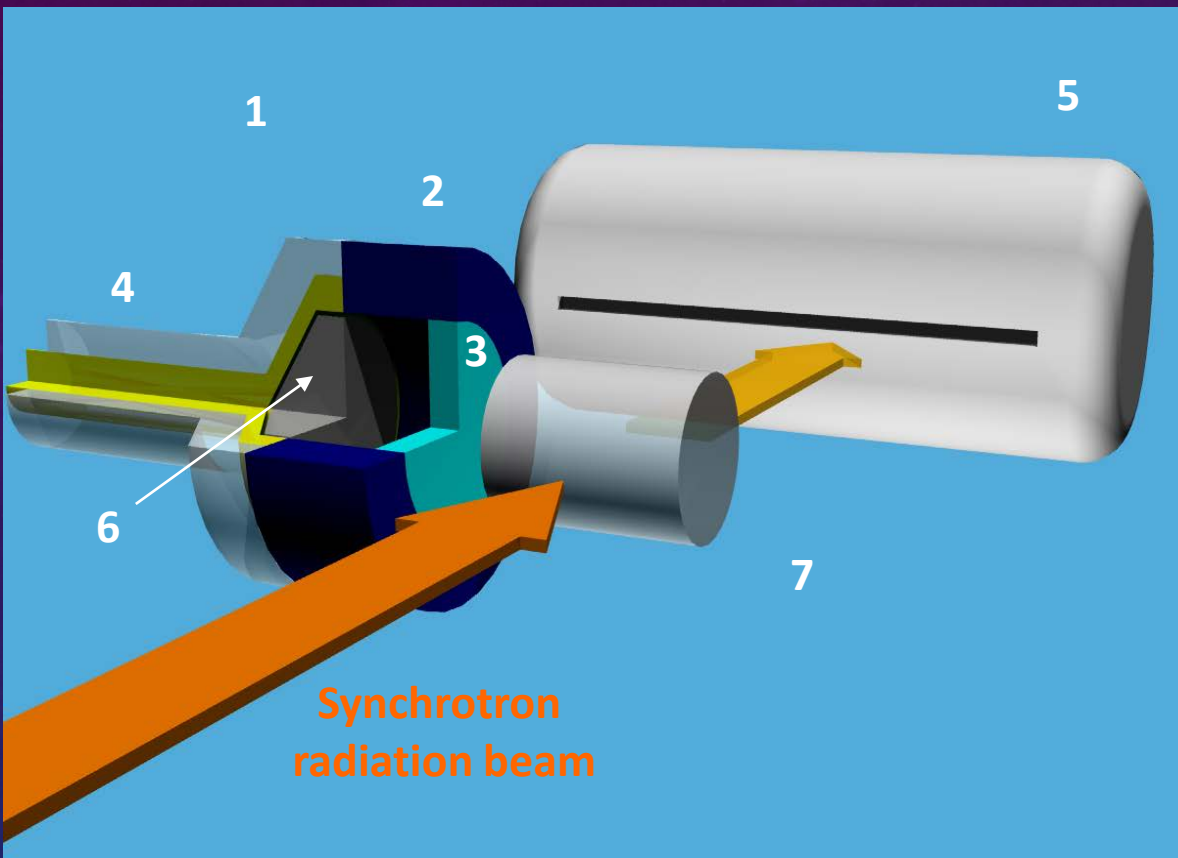
DIMEX



# THANK YOU FOR A



# Shock-wave experiments at synchrotron radiation beam line



**Experiment set up:** 1- flat wave generator, 2- gun tube, 3-plunger,  
4-detonator, 5-detector, 6- explosive, 7- sample.